

蝎毒多肽提取物抑制 DU- 145 细胞 COX- 2 和 MMP- 9 表达的研究*

张月英 张维东 贾 青 王兆朋 黄山英 宋守琴 王朝霞
(山东省医学科学院基础所病理室 济南 250062)

摘要 目的: 研究蝎毒多肽提取物 (peptide extract from scorpion venom, PESV) 对雄激素非依赖性人前列腺癌细胞株 DU-145 COX- 2 和 MMP- 9 表达的影响, 进一步探讨其抗血管生成的分子机制, 为抗前列腺癌骨转移提供有效的治疗手段。方法: 采用免疫组化方法检测 PESV 对 COX- 2、MMP- 9 蛋白表达的影响, 应用 RT- PCR 检测 PESV 对 MMP- 9 在 mRNA 水平表达的影响。结果: 蝎毒多肽提取物 (40 μ g/mL) 作用于前列腺癌细胞后, COX- 2、MMP- 9 蛋白表达水平明显下调 ($P < 0.05$), 进一步检测发现 MMP- 9 在 mRNA 水平亦明显下降 ($P < 0.05$)。结论: 蝎毒多肽提取物 (PESV) 通过抑制前列腺癌细胞血管生成因子 COX- 2 的表达而发挥其抗血管生成作用, 具有临床应用价值。

关键词: 蝎毒多肽提取物; 前列腺癌; COX- 2 ; MMP- 9

中图分类号: R737.65; R285.5 文献标识码: A

Polypeptide extract from scorpion venom (PESV) downregulates the expression of COX- 2 and MMP- 9 in DU- 145 cell lines

ZHANG Yue- ying, ZHANG Wei- dong, JIA Qin, et al

Institute of Basic Medicine, Shandong Academy of Medical Science, Jinan, China, 250062

ABSTRACT Objective: To investigate the effect of polypeptide extract from scorpion venom (PESV) on the expression of cyclooxygenase- 2 (COX- 2) and matrix metalloproteinase- 9 (MMP- 9) in androgen- independent human prostate cancer DU145 cell line, and to explore the antiangiogenic mechanisms induced by PESV, finally, hopefully to find out potential approach to targeting bone metastasis of prostate cancer. **Methods:** Immunohistochemistry was performed to determine the expression of COX- 2 and MMP- 9 in DU145 cells treated with PESV (40 μ g/ml) or vehicle. MMP- 9 mRNA was detected using RT- PCR. **Results:** The expression of COX- 2 and MMP- 9 was significantly downregulated in PESV- treated DU145 cells, compared with the control, and the amount of MMP- 9 mRNA reduced significantly in the treatment group. **Conclusions:** PESV is able to inhibit the expression of COX- 2 and MMP- 9, thus leading to inhibitory effect on PESV might be a promising angiogenesis inhibitor.

Key words: Polypeptide extract from scorpion venom (PESV); Prostate cancer; Cyclooxygenase- 2 (COX- 2), Matrix metalloproteinase- 9 (MMP- 9)

前言

前列腺癌 (prostate cancer, PCa) 是男性泌尿系统常见的恶性肿瘤, 在欧美国家其死亡率居男性恶性肿瘤第 2 位^[1]。近年来, 其发病率在全球呈上升趋势, 且易发生骨转移。我们从东亚钳蝎蝎毒中提取的一种多肽提取物 (Polypeptide extract from scorpion venom, PESV), 由 50~ 60 个氨基酸组成, 具有良好的体内和体外抗肿瘤血管生成活性^[2,3,4], 并藉此抑制肿瘤的生长与转移, 其作用机制是多方面的, 可能与抑制 COX- 2 表达有关。本实验旨在研究蝎毒多肽提取物 (PESV) 对前列腺癌

细胞 COX- 2 和 MMP- 9 表达的影响, 进一步阐明其抗肿瘤血管生成的作用机制。有关蝎毒多肽提取物 (PESV) 对前列腺癌细胞 COX- 2 表达影响研究尚属首次报道。

1 材料与方法

1.1 PESV 的药物提取和稀释方法

取蝎毒冻干粉溶解 (1g/40 mL, pH7. 4), 低温离心, 5000rpm, 30min; 0.45 μ m 和 0.22 μ m 微孔滤膜过滤, 将超滤物冻干。取蝎毒冻干粉 400mg 加磷酸缓冲液上样, 经葡萄糖凝胶, 收集蝎毒 III- IV蛋白峰, 再进行阳离子交换层析, 紫外分光光

* 基金项目: 国家自然科学基金资助项目(编号 30371841), 山东省自然科学基金资助(编号 Y2003C02)

作者简介: 张月英, (1980-), 女, 硕士研究生, 研究方向: 抗肿瘤血管生成。E-mail: qqhlxx99@163.com

通讯作者: 张维东, E-mail: zhangweidongkui@163.com. Tel: 053182919939

通讯地址: 山东省医学科学院实验病理学与生理学研究室, 250062

收稿日期: 2006- 04- 25 接受日期: 2006- 05- 10

度仪(吸收波长280nm)检测,收集PESV蛋白峰。PESV在HPLC色谱显示有四个峰,主峰占总面积的41.4%。PESV为含有50~60个氨基酸的多糖混合物,纯度89.1%,分子量6000~7000,pH稳定。PESV用RPMI1640完全培养基溶解稀释。

1.2 试剂和仪器

新生小牛血清:杭州四季青公司;RPMI1640:美国GIBCO公司;总RNA提取试剂盒:上海生物工程有限公司;COX-2、MMP-9免疫组化试剂盒和DAB试剂盒:中山生物技术公司;Triton X-100:美国Gibco公司;TRIZOL试剂:美国Gibco公司;德国leica倒置显微镜;德国leicaDM4000B光学显微镜;德国leicaQwin V₃图像分析软件;CO₂孵箱:美国Forma Sientific。

1.3 细胞培养与标本制作

DU-145细胞(购自北京大学泌尿外科)用含10%小牛血清的RPMI1640培养,37℃,饱和湿度5%CO₂的培养箱中,常规培养,每日倒置显微镜观察生长情况,3天换液,适时传代。细胞培养后,制作细胞爬片,经95%酒精固定后,以免疫组化法检测COX-2、MMP-9的表达情况。

1.4 免疫细胞化学染色

免疫组化步骤如下:取固定好的细胞爬片,PBS振洗3次,每次5min;然后,用0.25% Triton X-100处理15min;再用0.3% H₂O₂室温下孵育10min,以消除内源性过氧化物酶;正常羊血清孵育30min,甩去不洗;滴加一抗(1:50),4℃湿盒24h,复温1h;滴加生物素化二抗(1:100),37℃孵育30min;滴加酶结合物(1:100),37℃孵育30min;DAB显微镜下控制显色5~10min。上述各步骤后均用0.01mol/L PBS振洗3次,每次5min。然后,苏木精复染,常规脱水,二甲苯透明,封片。高倍镜下随机选取10个高倍视野,读取表达细胞百分比,并做灰度值分析。

1.5 总RNA的提取

①孔板细胞汇合度为90~100%时,取出无菌室,去其上清,用PBS洗两次后,每孔加TRIZOL试1mL,摇匀,无菌罩内消化3~5min(观察:液体变粘稠,细胞脱壁);

②将各孔内消化好的细胞裂解液吸到一DEPC处理过的1.5mL EP管中,加新开的氯仿0.2mL,轻摇15秒;

③室温静置2~3后,12000rpm,15min,4℃,离心。然后取上清无色水相(约0.6mL)到EP管(DEPC处理过),加0.5mL新打开的异丙醇,室温下静置10分钟;

④12000 rpm,10min,4℃,离心。观察总RNA在管底的白色沉淀,弃去上清,75%乙醇1.0mL洗涤(用DEPC水新配制)后,7500rpm,5min,4℃,离心;

⑤去上清,点离,用小Tip吸干液体。气干沉淀5~10分钟,DEPC处理水20~30μL加入,中枪打匀,55~60℃水浴10分钟溶解总RNA,测OD值;

⑥电泳。

1.6 RT-PCR检测MMP-9在mRNA水平的变化

总RNA在70℃孵育5min,取出后迅速置冰上冷却。逆转录体系如下:5μL总RNA、1.5μL Oligo(dT) 18、1mmol/L dNTP2.0μL、2.0μL逆转录酶、20U RNase抑制剂、逆转录buffer4.0μL,用

DEPC水补足20μL体积。70℃孵育60min。逆转录产物于-20℃保存。PCR反应体系如下:1×PCR buffer、dNTP 200μmol/L、TaqplusDNA聚合酶215U、上、下游引物各110μmol/L、cDNA模板500pg,加水至总体积50μL。以(-actin为内参照,其上、下游引物序列为:5'-GAGCTACGAGCTGCCGACG-3'和5'-GCATTTGGGTGGACGA-3',扩增片段长度为389bp;mmp-9引物由上海生物有限公司合成,上、下游游引物序列为:5'-GAGATGCCGTGGAGACTCGAA-3';5'-CCGAGTTGGAAC-CACGACGC-3',扩增片段长度为489bp。取不同批次培养细胞,重复3次。扩增产物电泳,进行吸光度扫描,与(-actin条带的吸光度(A)值比较,得到相对吸光度值。进行单因素方差分析比较各组相对吸光度值间的差异。

1.7 统计学分析

采用spss10.0软件包进行t检验、方差分析,计算数据结果以表示。

2 结果

2.1 免疫组化染色:

COX-2和MMP-9阳性表达均定位于细胞质,呈淡棕黄色至棕黄色着色(见图A、B、C、D)。COX-2蛋白表达阳性表达率(%)分别为85.5±3.32和40.6±2.56,差异有统计学意义(P<0.05)。对照组和实验组MMP-9蛋白表达阳性率(%)分别为86.5±4.12和43.9±2.63,差异亦有显著性意义(P<0.05)。

2.2 RT-PCR:

对照组和PESV组均可检测到MMP-9 mRNA的存在,但PESV组与对照组比较前者表达明显减弱(P<0.05,见图E)。

3 讨论

细胞外基质的降解、肿瘤血管形成是肿瘤细胞侵袭和转移的关键,因此,有效抑制细胞外基质的降解和抗肿瘤血管生成可有效抑制肿瘤转移。血管生成过程中,首先血管内皮细胞迁移并侵入细胞外基质,分裂形成新生血管,继而癌细胞脱落进入血管到达远处器官增殖形成转移灶。基质金属蛋白酶(MMPs)是一类重要的蛋白水解酶,他们具备降解细胞外基质所有成分的能力,MMP-9(明胶酶B)是MMPs的一成员,能降解结缔组织及细胞外基质成分,从而在肿瘤侵袭转移和血管生成中发挥重要作用^[5]。近年来的研究表明基底膜和细胞外基质的降解,对肿瘤血管生成所必需的内皮细胞的迁移极为重要,故MMP-9成为肿瘤新生血管形成的关键因素之一^[6]。

环氧化酶-2(cyclooxygenase2, COX-2)是花生四烯酸合成前列腺素(PGs)的限速酶,COX-2的过度表达与肿瘤新生血管的形成密切相关^[7]。有资料证实,COX-2的确可使肿瘤中的VEGF表达上调,抑制COX-2则可抑制VEGF的表达。单一的PGE2在体内就可刺激血管的生成,外源性的PGE2可逆转吲哚美辛引起的VEGF表达的下调,提示COX-2来源的PGE2可能在新生血管的生成中发挥着重要作用。在PC-3

前列腺癌细胞株中,外源性的PGE2可使COX-2抑制剂NS2398引起的VEGF表达的下调发生逆转^[8]。COX-2的催化产物PGE2可以通过依赖PGE2的途径诱导MMP-2和MMP-9生成^[9]。Callejas NA等^[10]也发现在肝细胞中COX-2上调MMP-2,MMP-9表达,COX-2在诱导肝细胞分泌有活性的MMPs中发挥了重要作用。大量的MMP-9的分解基底膜和细胞外基质,有利于成纤维细胞及内皮细胞等迁移并在其中生长,促进形成新生血管。因此,可以推断COX-2不仅通过促进MMP-9合成增加以降解细胞外基质和基底膜,促进肿瘤的侵袭和转移,还可以直接促进肿瘤组织中新生血管的形成,增强了肿瘤的侵袭能力和转移能力。本试验利用免疫组化法在蛋白水平检测PESV对COX-2和MMP-9在前列腺癌细胞中的表达影响,结果发现,与对照组相比,COX-2、MMP-9表达均下调,且差异有统计学意义($P < 0.05$);进一步用RT-PCR法在mRNA水平检测PESV对MMP-9在前列腺癌细胞中表达影响,结果亦发现其表达下调,与对照组比较,其差异有统计学意义($P < 0.05$)。本研究结果充分证实了PESV不仅可以直接抑制COX-2的表达,还可以间接抑制MMP-9的表达,具有抑制肿瘤侵袭、转移和抗血管生成的双重作用。因此,可以预见具有COX-2抑制剂样作用的蝎毒多肽提取物(PESV)在抗肿瘤转移的治疗中,将具有良好的应用前景。

参 考 文 献

- [1] Jenal A, Tiwari RC, Murray T, et al. Cancer Statistics, 2004[J]. CA Cancer J Clin., 2004, 54(1): 8-29
- [2] 张维东, 崔亚洲, 姚成芳, 等. 蝎毒多肽提取物抗肿瘤血管生成作

用的实验研究报, 2005, 21(6): 708-711

- [3] 张维东, 崔亚洲, 武利存, 等. 蝎毒多肽提取物的抗血管生成作用[J]. 细胞生物学杂志, 2005, 27(3): 343-346
- [4] 张维东, 崔亚洲, 贾青, 等. 蝎毒多肽提取物对小鼠S180肉瘤和H22肝癌血管生成抑制作用的实验研究[J]. 山东中医药大学学报, 2005, 29(2): 152-155
- [5] Basset P, Bellocq JP, Wolf C, et al. A novel metalloproteinase gene specifically expressed in stromal cells of breast carcinomas. Nature[J], 1990, 348(6303): 699-704
- [6] Shekhar MP, Werdell J, Santner SJ, et al. Breast stroma plays a dominant regulatory role in breast epithelial growth and differentiation: implication for tumor development and progression[J]. Cancer Res. 2001, 61(4): 1320-1326
- [7] Prescott SM, Fitzpatrick FA. Cyclooxygenase-2 and carcinogenesis[J]. Biochim. Biophys. Acta., 2000, 1470(2): M69-78
- [8] Liu XH, Kirschenbaum A, Yao S, et al. Up-regulation of vascular endothelial growth factor by cobalt chloride- simulated hypoxia is mediated by persistent induction of cyclooxygenase-2 in a metastatic human prostate cancer cell line[J]. Clin. Exp. Metastasis, 1999, 17(8): 687-694
- [9] Cipollone F, Prontera C, Pini B, et al. Overexpression of Functionally Coupled Cyclooxygenase-2 and Prostaglandin E Synthase in Symptomatic Atherosclerotic Plaques as a Basis of Prostaglandin E2-Dependent Plaque Instability[J]. Circulation, 2001, 104(8): 921-927
- [10] Callejas NA, Casado M, Diaz-Guerra MJ, et al. Expression of cyclooxygenase-2 promotes the release of matrix metalloproteinase-2 and -9 in fetal rat hepatocytes[J]. Hepatology, 2001, 33(4): 860-867

(图A-图F请见封3)

(上接第7页)

- [3] Nemat M, Harrison ST L, Hansford GS, et al. Biological oxidation of ferrous sulphate by Thiobacillus ferrooxidans: a review on the kinetic aspects[J]. Biochemical Engineering Journal, 1998(1): 171-190
- [4] 柳建设, 张艳华. 嗜酸氧化亚铁硫杆菌生长动力学方程的应用. 现代生物医学进展, 2006, 6(2): 5-8
- [5] 谢建平, 刘新星, 刘文斌, 等. Acidithiobacillus ferrooxidans 中磁小体的提取. 生物磁学, 2005, 5(3): 7-10
- [6] 施巧琴, 吴松刚. 工业微生物育种学[M]. 北京: 科学出版社, 2003
- [7] 周吉奎, 邱冠周, 钮因健, 等. 干燥保存对氧化亚铁硫杆菌(Fe²⁺)氧化活性的影响[J]. 中南大学学报(自然科学版), 2004, 35(1): 39-42
- [8] Cleland David, Krader Paul, McCree Coral, et al. Glycine betaine as a cryoprotectant for prokaryotes[J]. Journal of Microbiological Methods, 2004, 58: 31-38
- [9] 李华, 骆艳娥, 刘延琳. 真空冷冻干燥微生物的研究进展[J]. 微生物学通报, 2002, 29(3): 78-82
- [10] Nowshari MA, Brem G. Effect of cryoprotectants and their concentration on post-thaw survival and development of expanded mouse blastocysts frozen by a simple rapid-freezing procedure[J]. Theriogenology, 1998, 50(7): 1001-1013
- [11] Simone, F. P., Brown, E. M. (Eds.), 1991. ATCC Preservation

Methods: Freezing and Freeze-Drying[J]. American Type Culture Collection, Rockville, MD, 7-13

- [12] 张在海. 铜硫化矿细菌浸出高效菌种选育及浸出机理[D]. 长沙: 中南大学, 2002
- [13] Mills CK, Gherna RL. Cryopreservation studies of Campylobacter[J]. Cryobiology, 1988, 25: 148-152
- [14] 李钟庆. 微生物菌种保藏[M]. 北京: 科学技术出版社, 1989
- [15] Hubalek, Z., 2003. Protectants used in the cryopreservation of microorganisms[J]. Cryobiology 46, 205-229
- [16] 何少华, 文竹青, 娄涛. 实验设计与数据处理[M]. 长沙: 国防科技大学出版社, 2002
- [17] Anchordoguy TJ, Rudolph AS, Carpenter JF, Crowe JH. Modes of interaction of cryoprotectants with membrane phospholipids during freezing [J]. Cryobiology. 1987 Aug, 24(4): 324-331
- [18] Charles L. Guy, Joan L. A. Huber, and Steven C. Huber. Sucrose Phosphate Synthase and Sucrose Accumulation at Low Temperature[J]. Plant Physiol. 1992 September, 100(1): 502-508
- [19] S. H. Loomis, J. F. Carpenter, T. J. Anchordoguy, John H. Crowe, B. R. Brandini. Cryoprotective capacity of end products of anaerobic metabolism[J]. Journal of Experimental Zoology Volume, 1989, 252(1): 9-15

蝎毒多肽提取物抑制 DU-145 细胞 COX-2 和 MMP-9 表达的研究

张月英 张维东 贾青 王兆朋 黄山英 宋守琴 王朝霞

(山东省医学科学院基础所病理室 济南, 250062)

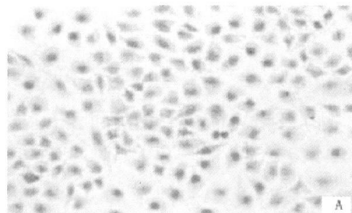


图 A:对照组 MMP-9 免疫组化×400

Figure A. IHC detection of MMP-9 in the control group. (maglified by 400 times)

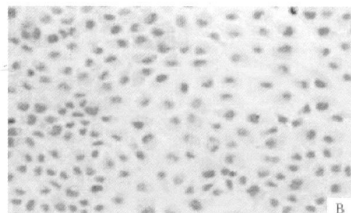


图 B:PESV 组 MMP-9 免疫组化×400

Figure B. IHC detection of MMP-9 in the treatment group. (maglified by 400 times)

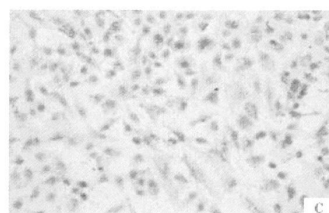


图 C:对照组 COX-2 免疫组化×200

Figure C. IHC detection of COX-2 in the control group. (maglified by 200 times)

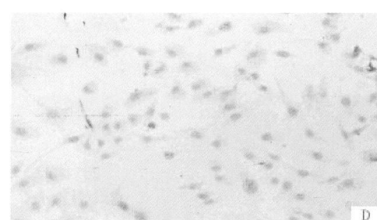


图 D:PESV 组 COX-2 免疫组化×200

Figure D. IHC detection of COX-2 in the treatment group. (maglified by 200 times)



图 E: Rt-PCR 检测 MMP-9 mRNA

Figure E:Detection of MMP-9 mRNA by Rt-PCR in DU-145 cells.

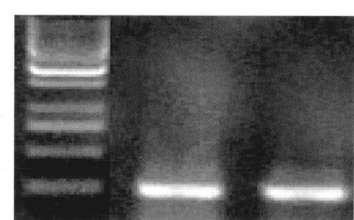


图 F: β -actin

Figure F:Detection of β -actin mRNA by Rt-PCR in DU-145 cells.

大鼠肠系膜淋巴结内高内皮微静脉周围网状支架的研究

郭文广 贺业春 贾立敏 谢遵江 朱保国

(哈尔滨医科大学大庆校区解剖教研室 黑龙江 大庆 163319)

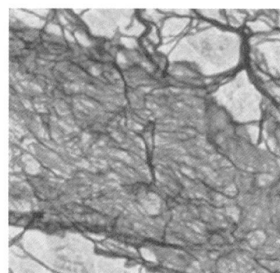


图 1 高内皮微静脉周围网状纤维网的镀银染色
↑: 孔 X132

Figure 1.The silver staining of RFN around HEV
A:hole x132

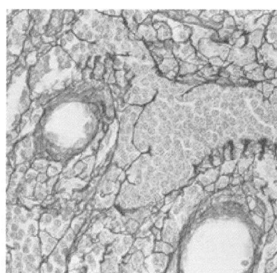


图 2 高内皮微静脉周围网状纤维网的镀银染色
↑: 高内皮微静脉 LL: 淋巴迷路 X132

Figure 2. The silver staining of RFN around HEV
↑: High endothelial venules
LL:the lymphatic labyrinth
x132

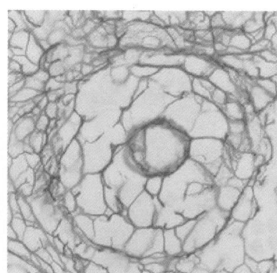


图 3 高内皮微静脉周围网状纤维网的镀银染色
X66

Figure 3.The silver staining of RFN around HEV
X66

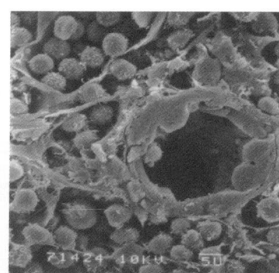


图 4 高内皮微静脉周围网状纤维的扫描电镜放大
R: 网状细胞 HEV: 高内皮微静脉 ↑: 网状纤维 X4200

Figure 4.The amplification of Scanning Electron Microscope of reticular fibers around HEV
R: reticular cells HEV: high endothelial venules ↑: reticular fibers X4200